

Bio필터를 이용한 Toluene 제거에서 미생물분해에 관한 연구

하상안 · 강신묵^{*}

[독일파더본 대학교 환경공학과 · 동의공업대학 환경공학과]

A Study on Microbial Degradation for Removal of Toluene Vapour by Biofilter

Sang-An Ha · Shin-Mook Kang^{*}

Department of mechanical process Engineering, Paderborn University, Germany

Department of Environmental System Engineering Dongeui Institute of Technology

Abstract

A biological filter for treatment of toluene among volatile organic compounds was studied. The investigation was conducted using specially built stainless steel columns packed with granular activated carbon and mold for removal of toluene. The G.A.C and mold as filter material was also coated with *Pseudomonas putida* microorganisms.

The biofilter unit was operated in the condition of moisture content variation at gas loading rate of 12.5 l/min. Gaseous toluene taken from tedlar bag was analyzed by the use of GC equipped with FID detector.

The removal efficiency of gaseous toluene was 95% at average inlet concentration of 950 ppm during bio degradation operating condition. Effective removal efficiency was obtained with moisture content 27.5% at activated carbon and 32% at mold in this study. The effective operating condition were obtained with pH 6.8, temperature 28 ~ 32°C for microbial degradation at gas loading rate of 12.5 l/min in packed material.

Key Word : Toluene, Biofilter, Gas Chromatography, Removal Efficiency, Moisture Content, Microbial Degradation

I. 서 론

유기용제의 다양한 사용과 자동차수의 증가에 따라 발생되는 유기화합물들은 탄화수소의 산화 과정이나 광화학적 반응에 의해 시성증감(或增減) 과정과 주요인으로 밝혀졌다^[1]. 이를 분석 규제의 국제적인 동향은 오존의 생성과 관련 있는 전

구물질로써 뿐만 아니라 직접적으로 인체에 유해한 영향을 줄 수 있는 뿐만 아니라 더욱 관심을 끌게 되었다. 이를 주제에 따라 VOC를 효율적으로 통제하고, 제어하는 시스템의 연구가 절실히 요구되어지고 있는 추세이다^[2].

특히 대도시에서는 자동차에 의한 VOC 물질이 대기중에 검출되어지고 있으며, 그 외 폐인도산업

분야의 도장과정에서 시너나 슬벤트로부터 휘발되는 오염물질이 광화학스모그의 원인인 오존을 다양으로 생성되고 있다는 것이 최근 연구에서 밝혀졌다. 이에 따라서 대기환경부제지역을 헌재의 서울, 인천, 경기도내의 15개시 이외에 부산과 대구를 1998년 12월부터 추가 지정해 대기오염을 철저히 관리하기로 결정하였다. 이에 따라서 정유 화학 공장과 주유소, 세탁소, 도상시설 등의 규제대상 없는 지역도 VOC배출악재 방지시설을 설치해야 하며 해당 지방자치단체는 조례로 배출허용 기준을 설정하고 분기별로 대기 중 VOC농도를 측정해야 한다. 이에 따라서 VOC를 제거하기 위해서 각 지방단체는 오염물질 쟁감 복료를 정하고 이를 위한 투자 등 설전계획을 수립해야 됨으로 이에 관한 최적의 방지기술 개발이 신설히 요구되어지고 있다. VOC물질의 특성을 규제를 통한 제감과 배출제감 기술의 개발에 의해 통제되어진다. VOC는 규제에 따라 통제하기 위해서는 자공제작, 증발연료 및 납부유연료 증기의 규제관리가 요구되어진다. 배출제감 기술개발에 의한 통제는 이중오염원의 통제를 위한 기술개발은 주제기술, 배기처리기술, 연료 분사기술, 승합차 및 납부유연료 증기장치, 친환경 및 배탄용차량 개발, 전기 및 수소차등차개발과 청정인료 사용 등에 의해서 할 수 있다. VOC 배출 방지기술로써는 소각, 압축기, 촉매소각, 물환원소법, 휴착, 휴수, 응축, 생물이상 등이 있다^[3]. 본 연구는 Bio필터 공정에서 충분상태의 운전조건에서 미생물분해에 따른 VOC물질 종의 하나인 톨루엔 가스의 처리에 관계되는 특성과 영향인자를 규명하는 것이 주목적이다.

II. 실험재료 및 실험방법

1. 실험재료

생물학적 아래재는 미생물의 군체밀도가 5000cfu/ml로 사용할 수 있는 최적조건의 활수율과 가비온 필터적합, 좋은 휴수성, 저렴한 가격 등의 조건을 만족해야된다^[4]. 이러한 특성의 성장을 가시하는 무식포와 환성단이 실험 아래재로 사용하였다. 필터재질의 조건은 35°C의 항생 조건에서 김조한 후 표준체를 이용하여 분류한 40~65mesh 크기의

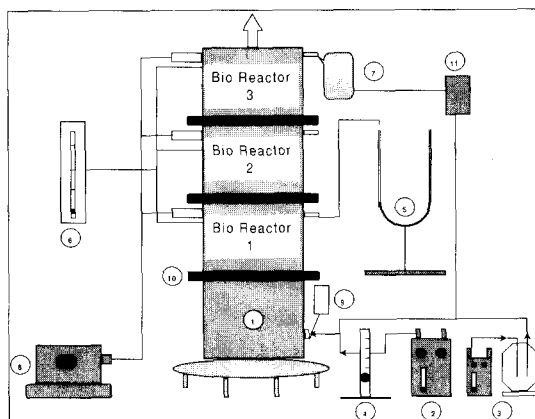
활성탄 입자를 물에 세척한 후에 110°C에서 김조하이 사용하였다. 또한 무식포는 동의공업대학 뒤쪽에 위치한 황평산에서 채취하여 35°C의 항생 조건에서 김조한 후 표준체 이용하여 30~80 mesh 크기로 분류하여 필터 재질로 사용하였다.

필터재질에서 수분함량의 추정은 표준체로 분류한 환성단을 김조한 후 장치에 충전한 양 m_p 과 수분을 포함한 진체량 m_p+m_w 의 관계에 따라 계산되어졌다. 진체량 m_p+m_w 에서 수분량을 계산하기 위해 dry oven에서 105°C로 항생이 뛴 때까지 김조한 후 대사케이타에서 방광시기 측정하였다. 충전체의 진체밀도 ρ_p 는 필터재질인 활성탄을 김조한 후 Piemometer법에 의해 측정하였으며 간접의 충전밀도 ρ_w 는 실험장치에 충전한 재질의 질량과 간접 용적비의 관계에 따라 계산하였다. 필터내의 재질 맹은 장치의 구조적 안정성, 표면적의 변화와 흡습의 적합도에 영향을 미치므로 흡수율 ϵ 는 진체체적 V와 빙 공간의 제적 V_{H2O} 으로 계산하여 충전하였다.

2. 실험장치 및 방법

실험장치는 진체높이가 1.5m, 직경이 11.5cm, 충전층의 높이는 25cm로 3단으로 설치되었다. Bio필터의 반응조는 stainless steel을 사용하였다. 물은 분사노즐을 통해서 공급하였고, 원료는 반응조에 전자식온도조절 장치를 부착하여 조절하였다. 실험장치는 Fig. 1에 나타내었다.

실험에 사용된 톨루엔 가스는 가스발생 장치에 톨루엔(日本 Junsei 社, 제품의 특급시약)을 유리용기에 넣고 풍기를 주입하여 발생시켰다. 풍기는 탄소펌터에 통과시켜 수분과 불순물을 제거하여 장치에 공급하였다. 운전 조건 중 원료는 전자식온도조절기를 통하여 25~41°C 범위로 일정하게 조절하였다. 실험장치의 pH조절은 톨루엔을 용해할 수 있는 0.05% 에탄올과 0.01N NaOH용액을 참가하여 pH가 5.8이 되도록 조절하였다. 민족 김조한 필터재질에 수분이 함유된 운전조건에서 활성탄에 단연종의 미생물을 접종하였고, 무식포는 톨루엔 유입농도의 변화는 일정한 공기공급의 조건에서 850~1000 ppm범위가 되도록 하였다. 유입농도는



1. Bio-Reactor
2. Air Supplier
3. Gas Generator
4. Flow Meter
5. U type manometer
6. Temperature Controller
7. Sampling Port(tedlar bag)
8. Water Pump
9. Gas detector tube
10. Supporting Plate
11. Gas Chromatography

Fig. 1. Schematic diagram of the biofilter unit.

평균 950 ppm이 되도록 일정하게 공급하였다. 가스농도의 측정은 유입과 유출 가스를 tedlar bag에 포집하여 FID감출기와 길이 30 cm, 내경 0.53 mm인 HP-INNOWAX Capillary 칼럼이 장착된 HP-6890 G.C.를 이용하여 분석하였다. Carrier gas는 헬륨을 사용하였고, Column head pressure 15psi의 조건에서 100°C의 oven온도에 의해 항온 분석하였다.

실험에서 미생물의 접종은 Bio필터의 재질에 미생물 접종이 없는 운전조건에서 50 hr이 지난 후에 톨루엔 세거율이 감소되는 운전기간에서 톨루엔을 비롯한 여러 종류의 VOC물질을 처리하는 폐수처리장 활성오니조의 미생물을 필터여재에 5~10 hr 동안 연속적으로 공급하여 혼합 접종되도록 하였다.

장치의 운전기간 동안 우성으로 접종된 미생물은 *Pseudomonas putida*로서, 이들의 미생물이 효과적으로 성장하는데 필요한 운전조건을 도출하기 위해 온도는 15~42°C, pH는 4.9~8.0, 수분량은 9.5~32%로 변화시켜 실험하였다.

III. 결과 및 고찰

필터총에서 수분과 일정한 공기량의 공급 조건에서는 흡수과정이 실행 뒤 후에 미생물이 적응할 수 있는 조건이 되면 시간의 경과에 따라 미생물이 가스와 반응하여 분해가 진행된다. 이 과정에서 미생물 분해를 위해 다양한 촉매나 영양물질을 첨가하면 반응이 더욱 활성화되어, toluene 가스는 효과적으로 제거된다¹¹. 미생물 분해과정은 액체필름과 필터총의 공극내에 전이가스 흐름에 의한 물질의 흡수과정과 필터총의 미생물에 의한 흡수물이 생물학적 결합에 의해서 Bio필터재질이 재생되어, 기질이 분해되어진다. 이들의 과정에서 필터총의 생물학적 활성도는 흡수와 기질의 재생에 의한 분해과정에 큰 영향을 미친다¹². 생물학적 가스정화 공정에 의해 발생되는 반응물의 변화는 세 가지 반응 즉 산화반응, 환원반응, 분해반응으로 분류할 수 있다. 이 Bio필터공정의 시스템에서는 미생물분해에 의한 가스정화 공정과 미생물의 활성도를 높이기 위해서 운전상태의 안정기간 중에 영양물인 보조효소물질을 첨가하는 Bio촉매 공정이 있다. 본 연구에 사용한 활성탄과 부식토 충전제는 Bio공정 내에서 유기성분을 위한 완충저장물로서, 또는 미생물 적응을 위한 매개물로 사용하였다.

1. 필터재질과 미생물적용에 따른 영향

필터재질의 설정은 물질전달이 실행되는 단면적이 크고, 미생물 밀도가 큰 재질이 효과적이다¹³. 톨루엔 가스는 필터내에 적응된 미생물의 활성이 증가함에 따라 분해율이 높다. 따라서 미생물 활성이 큰 재질의 설정은 Bio필터 공정에서 아주 중요한 사항이다.

본 연구 실험은 Bio필터 재질로서 활성탄과 부식토를 선정하였고, 이 둘의 재질중 미생물의 활성이 큰 재질은 실험결과에서 부식토임이 증명되었다. 본 연구에서는 기질의 분해를 증가시키기 위해서 향수율을 25.7%로 공급하였고, 여제에 함유된 톨루엔의 분해반응을 증가시키기 위해서 영양물질 KH₂PO₄를 14.5g/l¹⁴으로 주입하였다. Fig. 2에 나타낸 결과에서 필터총에 수분만 함유한 것과 비교

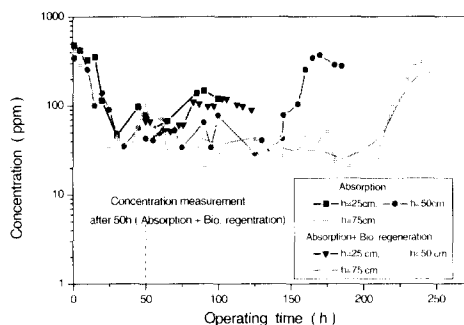


Fig. 2. Variation of toluene concentration according to absorption and microorganism regeneration with activated carbon.

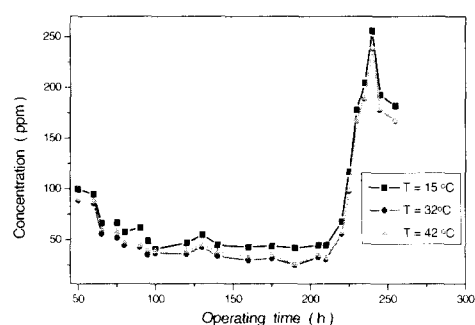


Fig. 4. Variation of toluene concentration according to temperature change in microorganism regeneration with activated carbon.

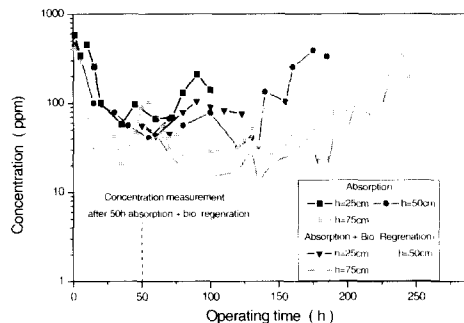


Fig. 3. Variation of toluene concentration according to absorption and microorganism regeneration with mold.

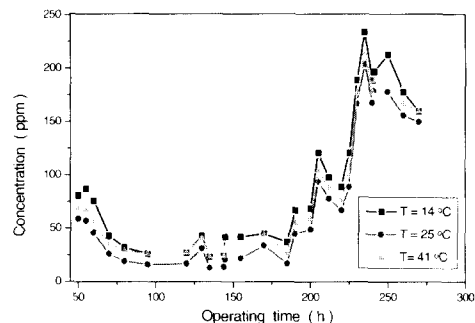


Fig. 5. Variation of toluene concentration according to temperature change in microorganism regeneration with mold.

하면 수분에 K₂HPO₄를 추가한 경우 기질의 분해율은 각단에 따라 큰 영향을 미치지 않았고, 기질의 분해가 포화되는 1단에서는 마지막 운전기간인 80hr, 2단에서는 165hr, 3단에서는 230hr에서 톨루엔의 분해율이 높았다.

이 결과에서 톨루엔 제거율은 150hr의 운전기간 이 까지 1단을 제외하고는 모두 제거율이 97% 이상이었다. 운전조건이 영양분질의 침가 없이 순수한 흡수과정에 의해 진행된 톨루엔의 분해과정 보다 각단의 포화지점에서 미생물의 재생이 포함된 흡수의 운전조건이 더 효과적임을 실험결과에서 알 수 있다.

Fig. 3의 결과는 일정한 운전조건에서 부식토와 활성탄의 재질을 사용한 경우 혼합접종 미생물에

의해 운진한 결과 미생물의 밀도가 큰 부식토의 톨루엔 분해율이 활성탄 보다 높게 나타났다. 또한 필터재질에 적용된 혼합 미생물 중 *Pseudomonas putida*가 우성으로 나타났다.

2. 온도의 영향

온도에 따라 신진대사에 미치는 영향은 Vant Hoff의 법칙을 적용하여 나타낼 수 있으며, 일반적으로 미생물의 호흡강도는 온도범위가 20~50°C 범위에서 평균 10°C 정도의 증가에 따라 활성도는 대략 두배로 나타났다.

Fig. 4의 결과에서 온도조건이 15°C 일 때가 미생물의 호흡강도가 낮으므로 기질의 분해율이 낮게 뛰울 수 있다^[11,13]. 톨루엔 가스는 생물학적

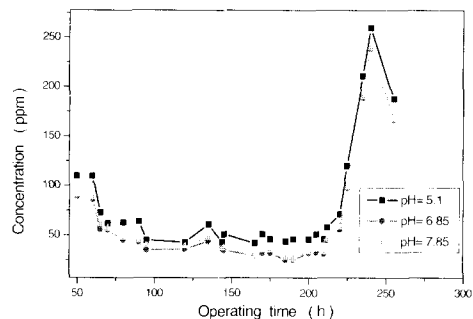


Fig. 6. Variation of toluene concentration according to pH change microorganism regeneration with activated carbon.

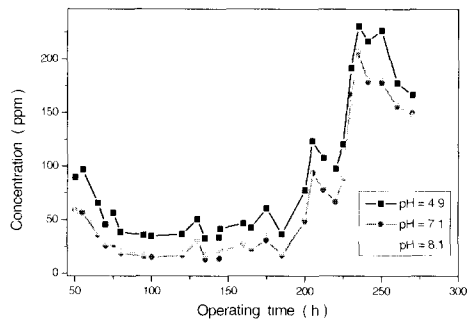


Fig. 7. Variation of toluene concentration according to pH change in microorganism regeneration with mold.

으로 제거율이 42°C의 온도조건을 강제로 해서 온도가 높은 경우 박원량의 증가로 미생물성장이 낮으므로 호흡강도가 감소됨으로서 제거율이 감소함을 볼 수 있다. Fig. 5의 결과에서는 *Pseudomonas putida*와 *Bacillus thiopanrus* 등이 혼합접종되어 진으로서 미생물의 박도가 높은 부식조건이 활성탄을 사용한 경우 보다 온도변화에 따라 호흡강도가 증가함으로서 분해율이 높았다.

3. pH의 영향

미생물 분해에 의해서 톨루엔이 산화될 수 있고, 톨루엔이 미생물학적으로 분해되는 몇 가지 경로가 알려져 있다. 톨루엔이 산화되어 중간 대사분인 벤질알데히드를 경유하여 벤조산을

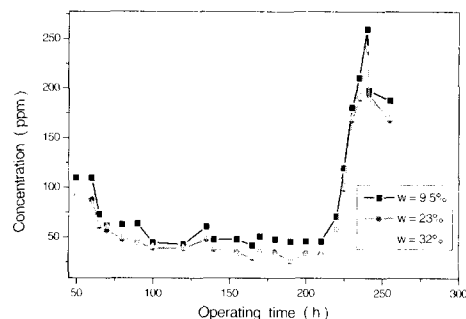


Fig. 8. Variation of toluene concentration according to moisture content variation with activated carbon.

형성한다. 형성된 벤조산은 다시 아래 경로로 분해된다. Moller¹²의 연구에서 *Pseudomonas putida*가 톨루엔을 산화하기 위한 최적조건의 pH값은 6.8정도이며, 이 때 활성도가 크게 나타났다. 이 pH값은 물질을 분해하는 과정에서 미생물이 톨루엔을 분해할 수 있는 환경적인 요소로서 미생물의 분해능에 영향을 미친다¹³. Fig. 6의 결과에서 pH값은 0.03% 애탠올과 0.01N NaOH 용액을 첨가하여 조절하였는데, pH값이 5.1일 때 분해율이 낮으며, pH값이 6.85와 7.85에서는 분해율이 비슷하게 나타남을 볼 수 있다.

Fig. 7의 결과는 함수율이 24% 조건에서 부식토내의 pH값이 미생물 활성에 미치는 영향을 나타내었는데, pH값이 산성의 환경 조건에서는 미생물 재생이 낮았고, 중성에 가까운 조건인 6.8의 조건에서 톨루엔의 분해율이 높게 나타남을 볼 수 있다.

4. 함수율의 영향

Bio필터 내의 미생물 반응과정에 요구되는 범위를 초과하는 함수율은 신진대사에 큰 영향을 미치지 않는다. 최적조건의 함수율 범위에서는 미생물이 성장하기 위한 여지 내에서 톨루엔가스상과 수분에 의한 물질전달과정(O_2 , CO_2 변화율)이 막혀가 없이 미생물 분해가 진행된다. 이 때문에 여지내 함수율의 조건은 톨루엔이 생물학적으로 산화되는 과정에서 미생물 활성도를 설정하는 매개변수가 된다¹³. Fig. 8의 결과에서 함수율이

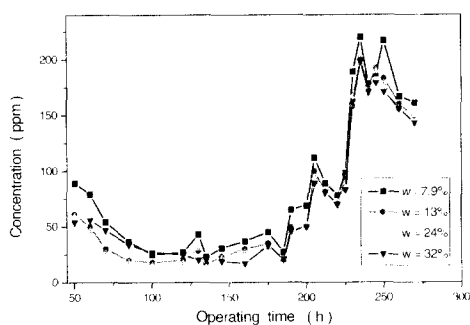


Fig. 9. Variation of toluene concentration according to moisture content variation with mold.

9.5%일 때 물질진단에 필요한 수분량이 부족하여 미생물이 호흡할 수 있는 호흡강도가 적으로 톨루엔 가스 기질의 분해율이 낮음을 볼 수 있다. 물부여를 분해할 수 있는 최적 조건의 합수율은 23%로 나타났으며, 이 상계점을 기준으로 해서 합수율이 증가해도 기질을 분해할 수 있는 선진대사과정이 거의 일정함을 볼 수 있다. 합수율의 최적 조건은 높은 온도조건에 합수율이 증가하면 수분이 증발하여 증기압이 증가되고, 호흡강도의 증가에 따른 미생물성장에 큰 영향을 미치지 않는 양이 효과적이다. Fig. 9에서 미생물의 활성이 풍부한 세포인 부식도에서는 합수율이 미생물의 호흡강도에 영향을 미치는 경계조건은 $w = 13\%$ 정도였고, 최적조건은 32% 에서 나타남을 알 수 있다. Fig. 10은 톨루엔 분해과정에서 우성으로 나타난 *Pseudomonas putida*를 광학현미경(Model : Diplan, Leitz Co, Germany)으로 동정한 결과를 나타내었다.

IV. 결 론

Bio필터 공정을 이용하여 VOC의 일종인 톨루엔 가스를 처리한 결과 다음과 같은 결론이 도출되었다.

1. 영양분절의 첨가가 없는 순수한 흡수과정에 의해 진행된 톨루엔의 분해과정 보다 각단의 포화지점에서 미생물의 재생이 포함된 흡수의 온진조건에서 효과적이었다. 일정한 온진조건에서 미생물의 활성도는 부식도의 세포



Fig. 10. Photograph of *Pseudomonas putida* by optical microscope.

2. 반응조의 각단에 혼합·접종된 미생물군중 *Pseudomonas putida*가 우성으로 나타났는데 톨루엔을 산화하기 위한 최적조건의 pH값은 6.8정도에서 활성도가 크게 나타났다. 부식도에서 *Pseudomonas putida*가 나타났지만, *Bacillus thioparus* 또한 톨루엔 기질의 분해에 영향을 미쳤다.
3. 온도조건이 15°C 일 때가 미생물의 호흡강도가 낮으므로 기질의 분해율이 낮게 나타났으며, 톨루엔 가스의 생물학적 제거율은 41°C 온도조건을 상계로 해서 온도가 증가하면 호흡강도가 감소됨으로써 제거율이 감소하고, 온도 15~41°C 범위에서는 온도의 증가에 따른 호흡강도의 증가로 인하여 제거율이 증가하는 것으로 나타났다.
4. 최적조건의 합수율 범위에서는 미생물이 성장하기 위한 가스 애체상에 의한 물질진단과정(O_2 - CO_2 변화율)이 방해가 없이 미생물 분해가 실행되는 조건인데, 합수율이 9.5%일 때 물질진단에 필요한 수분량이 부족하여 미생물이 호흡할 수 있는 호흡강도가 적으로 톨루엔 가스 기질 분해율이 낮음을 볼 수 있

었다. 톨루엔을 분해할 수 있는 최적 조건의 합수율은 활성탄은 25.7%이었고, 부식토는 32%로 나타났는데, 이 경계점을 기준으로 해서 합수율이 증가해도 기질을 분해할 수 있는 신진대사 과정이 거의 일정함을 알 수 있었다. 미생물의 활성이 풍부한 세진인 부식토에서는 미생물의 호흡강도에 영향을 미치는 합수율 경계점은 $w=13\%$ 정도에서 나타났다.

참 고 문 현

- Haagen Smit A. J. : Chemistry and Physiology of Los Angeles Smog, Indust. Eng. Chem., 44, 1342, 1952.
- 한양대학교 환경 및 산업의학연구소 : 휘발성 유기화합물 규제대상 설정 및 관리방안에 관한 연구, 환경부 최종보고서, 128-142, 1997.
- Stedman D. H., Morris E. D., Daby E. E., Niki H. and Weinstock B. : The role of OH radicals in photochemical smog reaction, 160th National Meeting of the ACS., Chicago, IC., 1970.
- 현화진 : 대기오염물질 VOC대책 I Journal of Environmental Hi Technology 1-29, 4, 6, 1996.
- VDI Berichte 735 : Biologische Abgasreinigung; VDI Verlag, Duesseldorf, 1989.
- Ottengraf, S. P. P. : Van den Oever, A. H. C. Kinetics of organic compound removal from waste gases with a biological filter, Biotechnol. Bioeng. 25, 3089, 1983.
- Morgenroth, E. : Degradation kinetics of hexane in a biofilter, M. S. Thesis, University of California, Davis, 1994.
- Kardono Allen, E. R. : Biofiltration Control of Volatile Hydrocarbon emissions : n butane, Proc. 87th Annual Meeting Air & Waste Manage. Assoc., Cincinnati, Ohio, paper No. 94 RA115A.02, 1994.
- Tang, H. M. Hwang, S. J. : Biofiltration of waste gas containing triethylamine, J.Chin. IChE. 26, 245, 1995.
- Francis, L., George, A. : Development of two biomass control strategies for extended, stable operation of highly efficient biofilter with high toluene loading, Environ Sci. Technol. 30, 1744-1751, 1996.
- M. Zilli, A. Converti, A. Lodi, M. Del Borghi, and G. Ferraiolo : Phenol removal from waste gases with a biological filter by Pseudomonas putida, Biotechnology and Bioengineering, 41, 693-699, 1993.
- M. Pahl, 하상안, 임강택 : 现代 生物학적 대기 오염 제어공학, 자구문화사, 1997.
- Ottengraf, S. P. P. Meesters, J. J. PP. van den Oever, A. H. C. Rozema, H. R. : Biological elimination of volatile xenobiotic compounds in biofilters, Bioprocess Eng., 1, 61, 1986.
- 송홍규, 오개현 : 최신 환경미생물학, 동화기술, 177-190, 1994.